

# ВЗАИМОДЕЙСТВИЕ ИНТЕРМЕТАЛЛИЧЕСКИХ СОЕДИНЕНИЙ ЦИРКОНИЯ С ВОДОРОДОМ

С. В. МИТРОХИН, В. Н. ВЕРБЕЦКИЙ, Е. Ю. СНЕГОВ,  
К. Н. СЕМЕНЕНКО

(кафедра физики и химии высоких давлений)

Настоящая работа является продолжением исследования, результаты которого опубликованы в [1]. Там же описана методика приготовления образцов и проведения эксперимента. Во всех опытах использовался водород, очищенный с помощью  $\text{LaNi}_5$ . Параметры ячеек исходных интерметаллических соединений (ИМС) по данным рентгенофазового анализа соответствуют известным из литературы [2].

В таблице приведены результаты исследования взаимодействия ИМС циркония с водородом. Следует отметить, что, как и в слу-

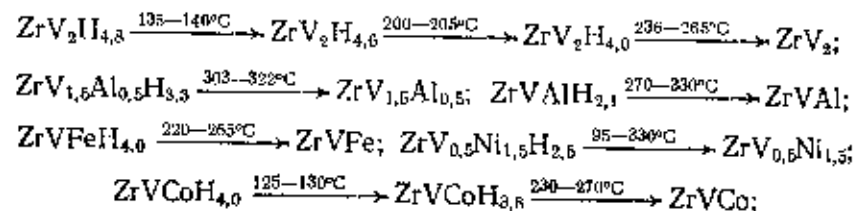
Характеристика ИМС циркония и гидридных фаз на их основе \*

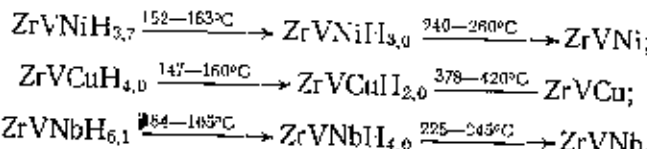
Состав	Интерметаллическое соединение		Гидридная фаза				$\frac{\Delta P}{P_0} = \frac{P_{\text{разр}} - P_{\text{имс}}}{P_{\text{имс}}} \cdot 100\%$	$\frac{Y_{\text{разр}} - Y_{\text{имс}}}{Y_{\text{имс}}} \cdot 100\%$	$\frac{Y_{\text{имс}} - Y_{\text{разр}}}{Y_{\text{имс}}} \cdot 100\%$			
	параметры ячейки, Å		$H_2$		параметры ячейки, Å							
	$a$	$c$	60 атм	1 атм	$a$	$c$						
$ZrV_4$	7,416		4,8	4,8	7,956		2,4	23,5	2,5	0		
$ZrV_{1,5}Al_{0,5}$	5,266	8,627	3,5	3,0	5,470	8,957	1,6	12,1	2,1	0		
$ZrVAl$	5,297	8,634	2,3	2,1	5,426	8,860	1,2	8,1	2,0	0		
$ZrVFe$	5,050	8,488	4,5	4,0	5,466	8,922	2,0	23,2	2,7	0		
$ZrVCo$	5,043	8,232	4,5	4,0	5,408	8,839	2,0	23,5	2,7	0		
$ZrVNi$	5,013	8,196	2,9	2,8	5,391	8,802	1,4	24,2	3,8	0		
$ZrVNi$	7,112		3,9	3,7	7,542		1,8	19,3	2,3	0		
$ZrV_{0,5}Ni_{1,5}$	7,052		3,0	2,4	7,374		1,1	14,3	2,6	0		
$ZrVCu$	5,154	8,384	4,2	4,0	5,473	8,934	1,9	20,2	2,4	0		
$ZrVNb$	5,348	8,624	5,7	5,4	5,719	9,255	2,3	23,3	2,4	0		
$ZrMoCr$	5,204	8,523	3,0	2,4	5,415	8,974	1,0	12,0	2,1	0		

\* — точность определения параметров  $\pm 0,05\%$ .

$ZrCr_2$  [1], кубическая модификация  $ZrVNi$  также обладает большой сорбционной емкостью по сравнению с гексагональной модификацией.

Для полученных образцов гидридных фаз было проведено исследование термической стабильности. Термограммы разложения снимались в вакууме при скорости нагрева 5 град/мин с синхронной записью звуковедения. Ниже приведены схемы термического разложения. Точность определения температуры  $\pm 5^\circ\text{C}$





Наименее термически стабильным из исследованных соединений является гидрид на основе ZrMoCr. Большая часть водорода удаляется из него при комнатной температуре, в чем проявляется значительное сходство с гидридом ZrMoFeH<sub>3</sub> [1].

## СПИСОК ЛИТЕРАТУРЫ

- Семененко К. Н., Вербецкий В. Н., Митрохин С. В., Бурнаметова В. В. — ЖНХ, 1980, № 7, с. 1731.  
Челюк М. Ю. Металлические соединения со структурой фаз Лавеса. М., 1969.

Поступила в редакцию  
04.01.80

641.128.13.943+546.723-31+546.814-31

## ~~ОКИСЛИТЕЛЬНЫЕ ПРЕВРАЩЕНИЯ ЦИКЛОГЕКСАНА НА БИНАРНОЙ КАТАЛИТИЧЕСКОЙ СИСТЕМЕ Fe<sub>2</sub>O<sub>3</sub>—SnO<sub>2</sub>~~

~~ЗАКИ ХАСАН, В. В. БЕРЕНЦВЕЙГ, А. П. РУДЕНКО,  
В. М. АКИМОВ~~

*(кафедра химии нефти и органического катализа)*

Каталитические свойства смешанных катализаторов на основе олова и железа практически не изучены, хотя сами окислы Fe<sub>2</sub>O<sub>3</sub> и SnO<sub>2</sub> хорошо известны как эффективные катализаторы окислительных процессов. Кроме того, они используются как компоненты катализаторов глубокого окисления и окислительного дегидрирования [2].

В соответствии с этим в настоящей работе была исследована активность и селективность смешанных катализаторов SnO<sub>2</sub> — Fe<sub>2</sub>O<sub>3</sub> с различным соотношением компонентов в реакции окислительного превращения циклогексана.

Катализаторы готовили соосаждением гидроксидов олова и железа концентрированным раствором аммиака из растворов нитрата железа и хлорида олова при pH=8–9. Полученные катализаторы высушивали при 100°C, гомогенизировали на шаровой мельнице и прокаливали при 600°C в токе воздуха в течение 10 ч. Для всех семи катализаторов были сняты ИК-спектры, проведен рентгеноструктурный анализ, определены удельные площади поверхности. Из данных, представленных в таблице, видно, что с увеличением содержания железа в смешанном катализаторе до 50 ат. % исчезает фаза SnO<sub>2</sub> и катализаторы полностью аморфизируются. Кроме того, в этой области концентраций железа наблюдается значительное увеличение удельной поверхности до 96 м<sup>2</sup>/г при 50 ат. % Fe. В этой же области концентраций Fe (0–50 ат. %) в ИК-спектрах наблюдаются полосы поглощения с максимумами при 470, 625–675 и 1050 см<sup>-1</sup>, которые соответствуют валентным колебаниям Fe—O и Sn—O, а также новая интенсивная по-